

Eingabe: Farbmimetrisches Fernseh-Licht-System TLS00

für Buntton $h^* = lab \cdot h = 40/360 = 0.111$

$lab \cdot tch$ und $lab \cdot nch$

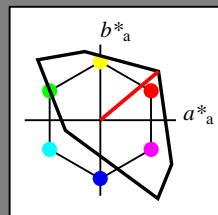
D65: Buntton O

LCH*Ma: 51 100 40

olv*Ma: 1.0 0.0 0.0

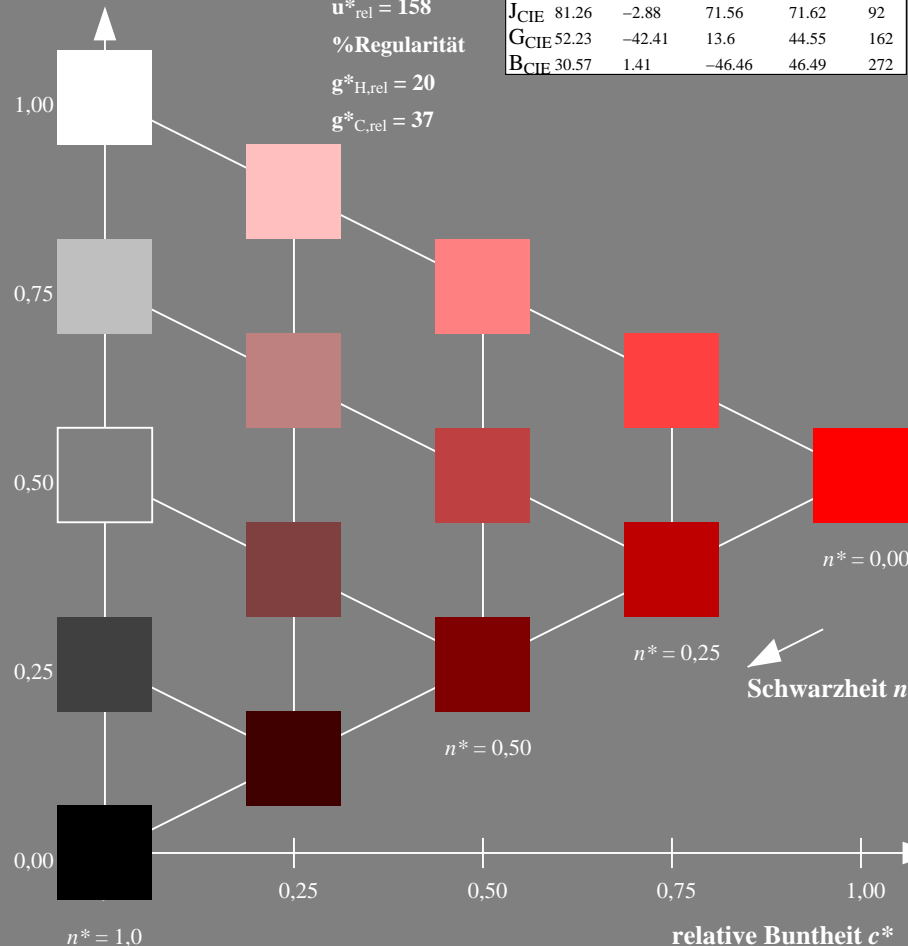
Dreiecks-Helligkeit t^*

$u^*_{rel} = 158$
 $g^*_{H,rel} = 20$
 $g^*_{C,rel} = 37$



TLS00; adaptierte CIELAB-Daten

	$L^*=L^*_a$	a^*_a	b^*_a	$C^*_{ab,a}$	$h^*_{ab,a}$
O _m	50.5	76.92	64.55	100.42	40
Y _m	92.66	-20.69	90.75	93.08	103
L _m	83.63	-82.75	79.9	115.04	136
C _m	86.88	-46.16	-13.55	48.12	196
V _m	30.39	76.06	-103.59	128.52	306
M _m	57.3	94.35	-58.41	110.97	328
N _m	0.01	0.0	0.0	0.0	0
W _m	95.41	0.0	0.0	0.0	0
R _{CIE}	39.92	58.74	27.99	65.07	25
J _{CIE}	81.26	-2.88	71.56	71.62	92
G _{CIE}	52.23	-42.41	13.6	44.55	162
B _{CIE}	30.57	1.41	-46.46	46.49	272



NG230-7, 5 stufige Reihen für konstanten CIELAB Buntton 40/360 = 0.111 (links)

Ausgabe: Farbmimetrisches Fernseh-Licht-System TLS70

für Buntton $h^* = lab \cdot h = 22/360 = 0.061$

$LAB \cdot LCH$, $LAB \cdot NCH$

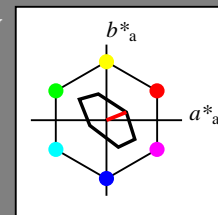
D65: Buntton O

LCH*Ma: 76 28 22

olv*Ma: 1.0 0.0 0.0

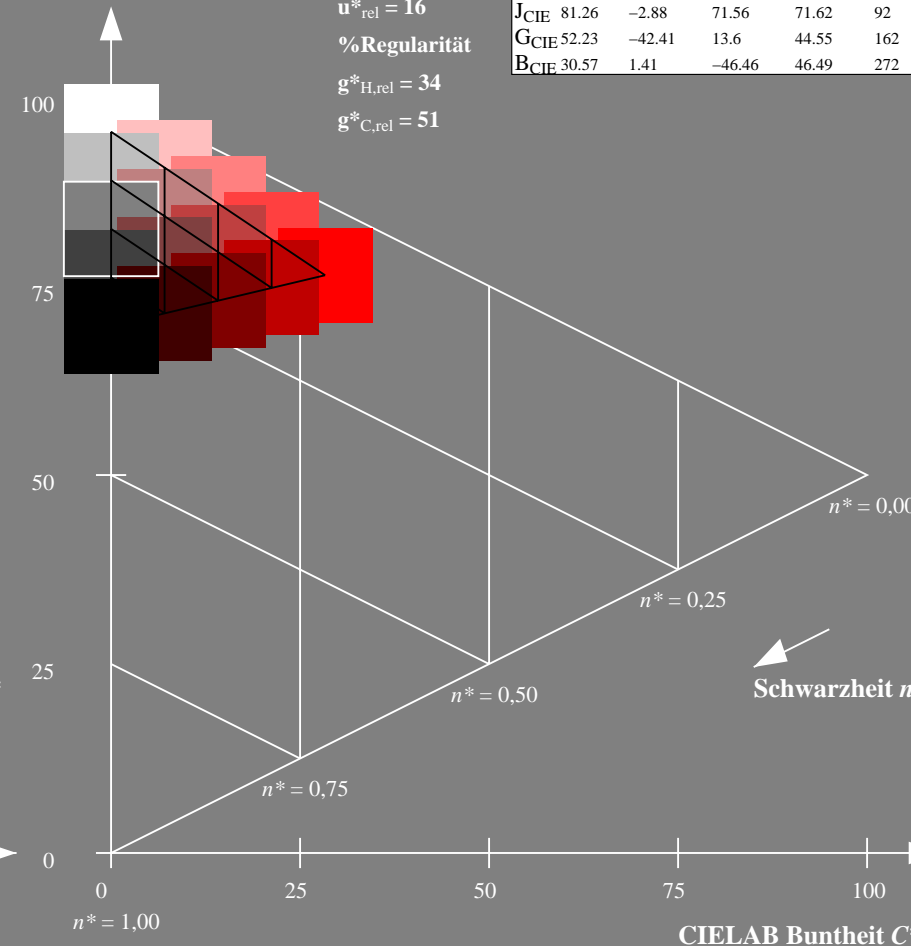
CIELAB-Helligkeit L^*

$u^*_{rel} = 16$
 $g^*_{H,rel} = 34$
 $g^*_{C,rel} = 51$



TLS70; adaptierte CIELAB-Daten

	$L^*=L^*_a$	a^*_a	b^*_a	$C^*_{ab,a}$	$h^*_{ab,a}$
O _m	76.43	26.27	10.57	28.32	22
Y _m	93.93	-10.76	34.63	36.27	107
L _m	89.32	-35.8	27.64	45.24	142
C _m	90.93	-21.95	-7.07	23.07	198
V _m	72.1	15.76	-35.63	38.97	294
M _m	78.5	37.52	-25.23	45.22	326
N _m	69.7	0.0	0.0	0.0	0
W _m	95.41	0.0	0.0	0.0	0
R _{CIE}	39.92	58.74	27.99	65.07	25
J _{CIE}	81.26	-2.88	71.56	71.62	92
G _{CIE}	52.23	-42.41	13.6	44.55	162
B _{CIE}	30.57	1.41	-46.46	46.49	272



5 stufige Reihen für konstanten CIELAB Buntton 22/360 = 0.061 (rechts)

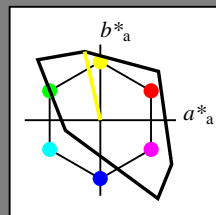
BAM-Prüfvorlage NG23; Farbmimetrik-Systeme TLS00 & TLS70 input: olv* setrgbcolor

D65: Koordinatensysteme; 5stufige Farbreihen für 10 Bunttöne output: no change compared to input

Eingabe: Farbmimetrisches Fernseh-Licht-System TLS00

für Buntton $h^* = lab^*h = 103/360 = 0.286$
 lab^*tch und lab^*nch

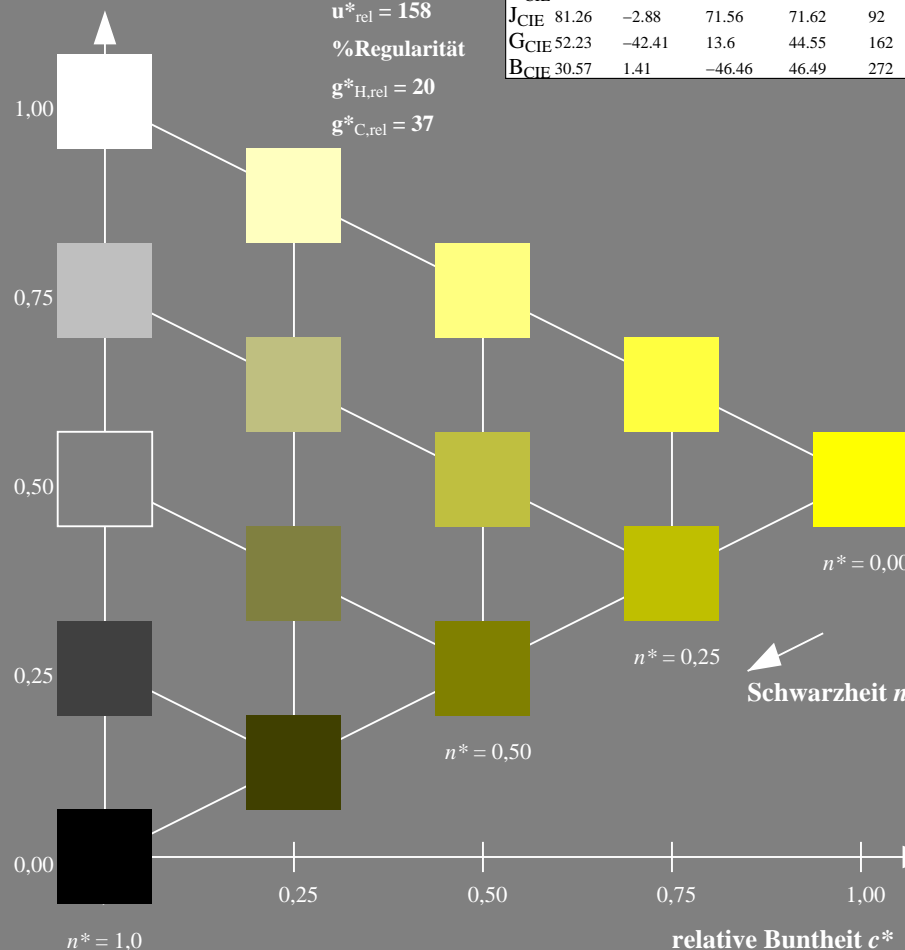
D65: Buntton Y
LCH*Ma: 93 93 103
olv*Ma: 1.0 1.0 0.0



TLS00; adaptierte CIELAB-Daten					
	$L^*=L^*_a$	a^*_a	b^*_a	$C^*_{ab,a}$	$h^*_{ab,a}$
O _m	50.5	76.92	64.55	100.42	40
Y _m	92.66	-20.69	90.75	93.08	103
L _m	83.63	-82.75	79.9	115.04	136
C _m	86.88	-46.16	-13.55	48.12	196
V _m	30.39	76.06	-103.59	128.52	306
M _m	57.3	94.35	-58.41	110.97	328
N _m	0.01	0.0	0.0	0.0	0
W _m	95.41	0.0	0.0	0.0	0
R _{CIE}	39.92	58.74	27.99	65.07	25
J _{CIE}	81.26	-2.88	71.56	71.62	92
G _{CIE}	52.23	-42.41	13.6	44.55	162
B _{CIE}	30.57	1.41	-46.46	46.49	272

Dreiecks-Helligkeit t^*

%Umfang
 $u^*_{rel} = 158$
%Regularität
 $g^*_{H,rel} = 20$
 $g^*_{C,rel} = 37$

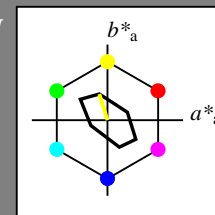


NG230-7, 5 stufige Reihen für konstanten CIELAB Buntton 103/360 = 0.286 (links)

Ausgabe: Farbmimetrisches Fernseh-Licht-System TLS70

für Buntton $h^* = lab^*h = 107/360 = 0.298$
 LAB^*LCH , LAB^*NCH

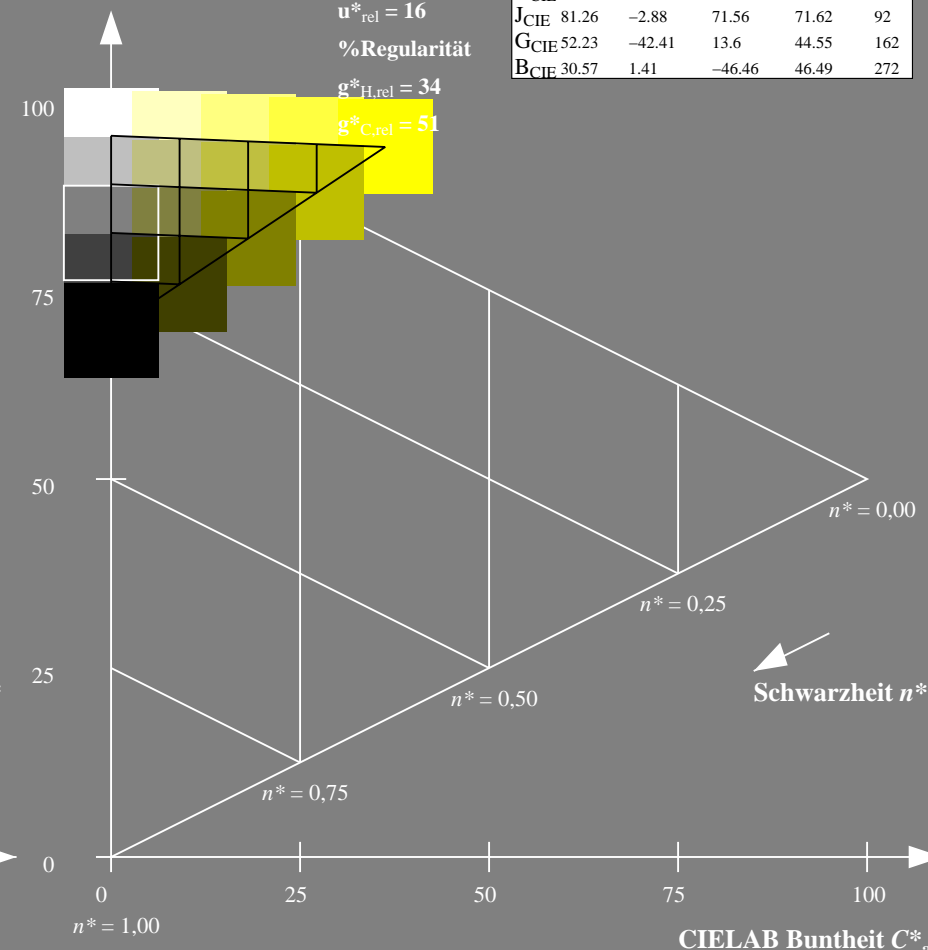
D65: Buntton Y
LCH*Ma: 94 36 107
olv*Ma: 1.0 1.0 0.0



TLS70; adaptierte CIELAB-Daten					
	$L^*=L^*_a$	a^*_a	b^*_a	$C^*_{ab,a}$	$h^*_{ab,a}$
O _m	76.43	26.27	10.57	28.32	22
Y _m	93.93	-10.76	34.63	36.27	107
L _m	89.32	-35.8	27.64	45.24	142
C _m	90.93	-21.95	-7.07	23.07	198
V _m	72.1	15.76	-35.63	38.97	294
M _m	78.5	37.52	-25.23	45.22	326
N _m	69.7	0.0	0.0	0.0	0
W _m	95.41	0.0	0.0	0.0	0
R _{CIE}	39.92	58.74	27.99	65.07	25
J _{CIE}	81.26	-2.88	71.56	71.62	92
G _{CIE}	52.23	-42.41	13.6	44.55	162
B _{CIE}	30.57	1.41	-46.46	46.49	272

CIELAB-Helligkeit L^*

%Umfang
 $u^*_{rel} = 16$
%Regularität
 $g^*_{H,rel} = 34$
 $g^*_{C,rel} = 51$



5 stufige Reihen für konstanten CIELAB Buntton 107/360 = 0.298 (rechts)

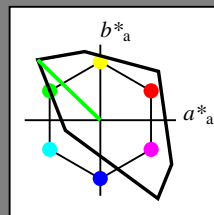
BAM-Prüfvorlage NG23; Farbmimetrik-Systeme TLS00 & TLS70 input: olv* setrgbcolor

D65: Koordinatensysteme; 5stufige Farbreihen für 10 Bunttöne output: no change compared to input

Eingabe: Farbmétrisches Fernseh-Licht-System TLS00

für Buntton $h^* = lab \cdot h = 136/360 = 0.378$
 $lab \cdot tch$ und $lab \cdot nch$

D65: Buntton L
LCH*Ma: 84 115 136
olv*Ma: 0.0 1.0 0.0

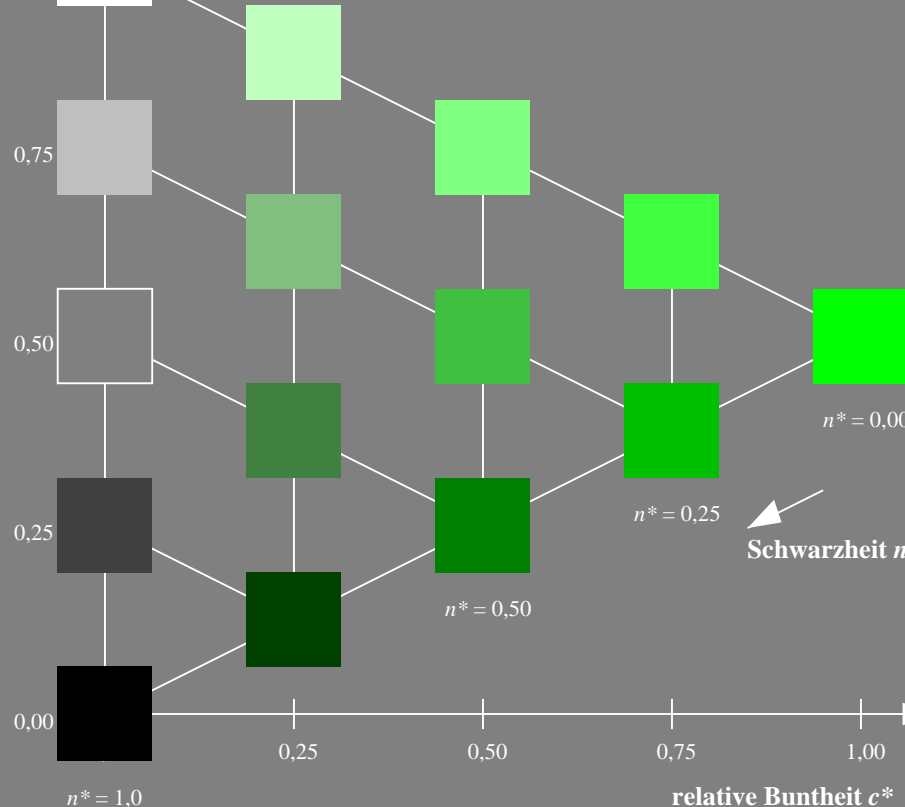


TLS00; adaptierte CIELAB-Daten

	$L^*=L^*_a$	a^*_a	b^*_a	$C^*_{ab,a}$	$h^*_{ab,a}$
O _m	50.5	76.92	64.55	100.42	40
Y _m	92.66	-20.69	90.75	93.08	103
L _m	83.63	-82.75	79.9	115.04	136
C _m	86.88	-46.16	-13.55	48.12	196
V _m	30.39	76.06	-103.59	128.52	306
M _m	57.3	94.35	-58.41	110.97	328
N _m	0.01	0.0	0.0	0.0	0
W _m	95.41	0.0	0.0	0.0	0
R _{CIE}	39.92	58.74	27.99	65.07	25
J _{CIE}	81.26	-2.88	71.56	71.62	92
G _{CIE}	52.23	-42.41	13.6	44.55	162
B _{CIE}	30.57	1.41	-46.46	46.49	272

Dreiecks-Helligkeit t^*

%Umfang
 $u^*_{rel} = 158$
%Regularität
 $g^*_{H,rel} = 20$
 $g^*_{C,rel} = 37$

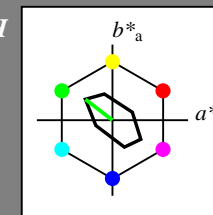


NG230-7, 5 stufige Reihen für konstanten CIELAB Buntton $136/360 = 0.378$ (links)

Ausgabe: Farbmétrisches Fernseh-Licht-System TLS70

für Buntton $h^* = lab \cdot h = 142/360 = 0.395$
 $LAB \cdot LCH$, $LAB \cdot NCH$

D65: Buntton L
LCH*Ma: 89 45 142
olv*Ma: 0.0 1.0 0.0

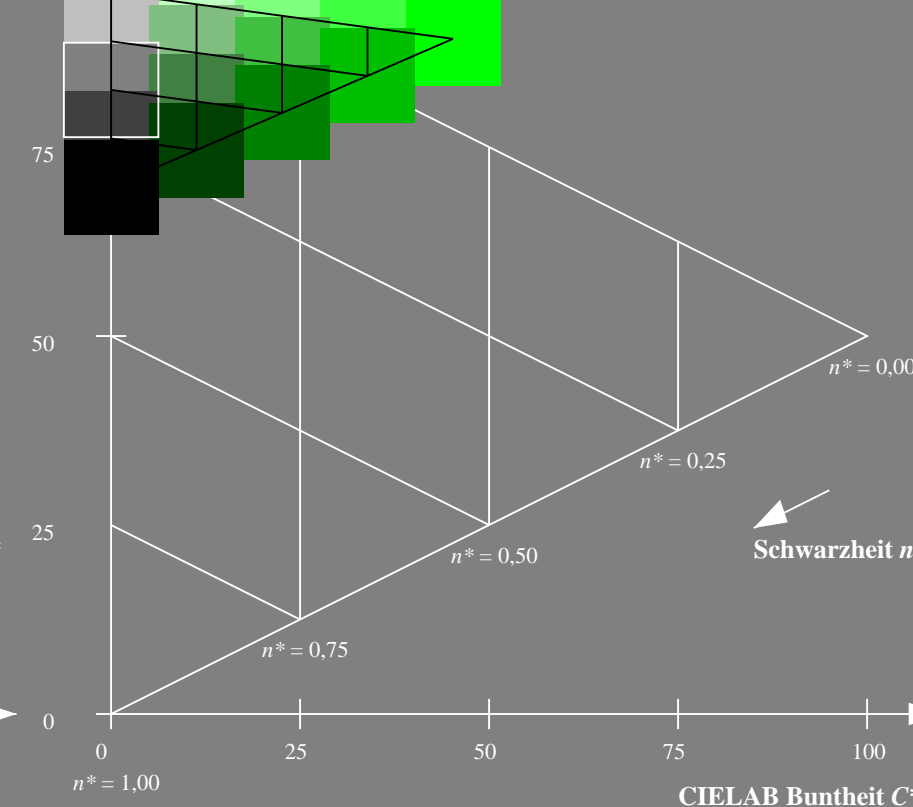


TLS70; adaptierte CIELAB-Daten

	$L^*=L^*_a$	a^*_a	b^*_a	$C^*_{ab,a}$	$h^*_{ab,a}$
O _m	76.43	26.27	10.57	28.32	22
Y _m	93.93	-10.76	34.63	36.27	107
L _m	89.32	-35.8	27.64	45.24	142
C _m	90.93	-21.95	-7.07	23.07	198
V _m	72.1	15.76	-35.63	38.97	294
M _m	78.5	37.52	-25.23	45.22	326
N _m	69.7	0.0	0.0	0.0	0
W _m	95.41	0.0	0.0	0.0	0
R _{CIE}	39.92	58.74	27.99	65.07	25
J _{CIE}	81.26	-2.88	71.56	71.62	92
G _{CIE}	52.23	-42.41	13.6	44.55	162
B _{CIE}	30.57	1.41	-46.46	46.49	272

CIELAB-Helligkeit L^*

%Umfang
 $u^*_{rel} = 16$
%Regularität
 $g^*_{H,rel} = 34$
 $g^*_{C,rel} = 51$



5 stufige Reihen für konstanten CIELAB Buntton $142/360 = 0.395$ (rechts)

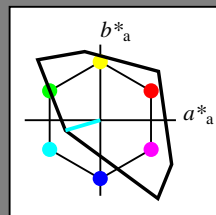
BAM-Prüfvorlage NG23; Farbmétrik-Systeme TLS00 & TLS70 input: olv* setrgbcolor

D65: Koordinatensysteme; 5stufige Farbreihen für 10 Bunttöne output: no change compared to input

Eingabe: Farbmimetrisches Fernseh-Licht-System TLS00

für Buntton $h^* = lab^*h = 196/360 = 0.545$
 lab^*tch und lab^*nch

D65: Buntton C
LCH*Ma: 87 48 196
olv*Ma: 0.0 1.0 1.0

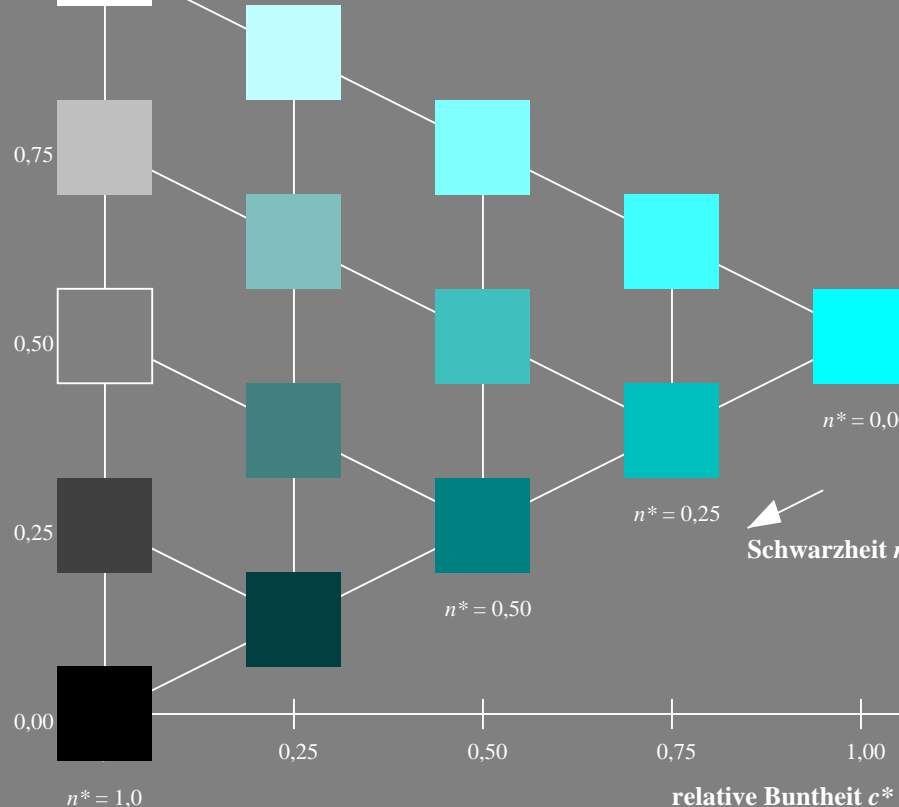


TLS00; adaptierte CIELAB-Daten

	$L^*=L^*_a$	a^*_a	b^*_a	$C^*_{ab,a}$	$h^*_{ab,a}$
O _m	50.5	76.92	64.55	100.42	40
Y _m	92.66	-20.69	90.75	93.08	103
L _m	83.63	-82.75	79.9	115.04	136
C _m	86.88	-46.16	-13.55	48.12	196
V _m	30.39	76.06	-103.59	128.52	306
M _m	57.3	94.35	-58.41	110.97	328
N _m	0.01	0.0	0.0	0.0	0
W _m	95.41	0.0	0.0	0.0	0
R _{CIE}	39.92	58.74	27.99	65.07	25
J _{CIE}	81.26	-2.88	71.56	71.62	92
G _{CIE}	52.23	-42.41	13.6	44.55	162
B _{CIE}	30.57	1.41	-46.46	46.49	272

Dreiecks-Helligkeit t^*

%Umfang
 $u^*_{rel} = 158$
%Regularität
 $g^*_{H,rel} = 20$
 $g^*_{C,rel} = 37$

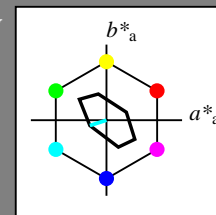


NG230-7, 5 stufige Reihen für konstanten CIELAB Buntton 196/360 = 0.545 (links)

Ausgabe: Farbmimetrisches Fernseh-Licht-System TLS70

für Buntton $h^* = lab^*h = 198/360 = 0.55$
 LAB^*LCH , LAB^*NCH

D65: Buntton C
LCH*Ma: 91 23 198
olv*Ma: 0.0 1.0 1.0

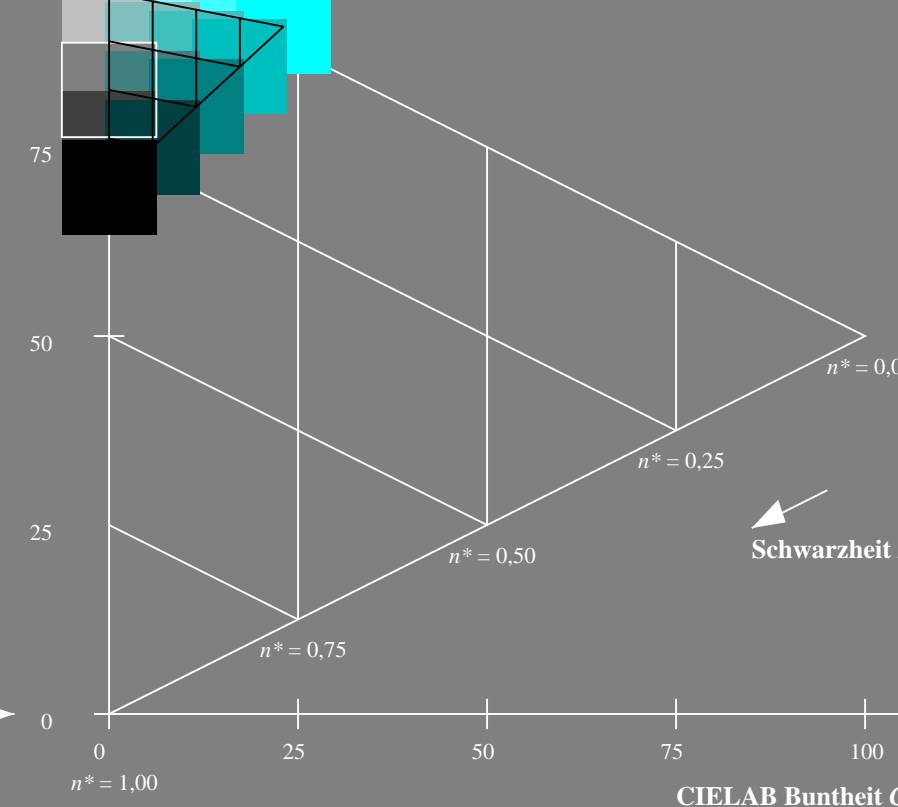


TLS70; adaptierte CIELAB-Daten

	$L^*=L^*_a$	a^*_a	b^*_a	$C^*_{ab,a}$	$h^*_{ab,a}$
O _m	76.43	26.27	10.57	28.32	22
Y _m	93.93	-10.76	34.63	36.27	107
L _m	89.32	-35.8	27.64	45.24	142
C _m	90.93	-21.95	-7.07	23.07	198
V _m	72.1	15.76	-35.63	38.97	294
M _m	78.5	37.52	-25.23	45.22	326
N _m	69.7	0.0	0.0	0.0	0
W _m	95.41	0.0	0.0	0.0	0
R _{CIE}	39.92	58.74	27.99	65.07	25
J _{CIE}	81.26	-2.88	71.56	71.62	92
G _{CIE}	52.23	-42.41	13.6	44.55	162
B _{CIE}	30.57	1.41	-46.46	46.49	272

CIELAB-Helligkeit L^*

%Umfang
 $u^*_{rel} = 16$
%Regularität
 $g^*_{H,rel} = 34$
 $g^*_{C,rel} = 51$



5 stufige Reihen für konstanten CIELAB Buntton 198/360 = 0.55 (rechts)

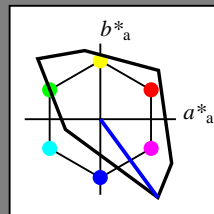
BAM-Prüfvorlage NG23; Farbmimetrik-Systeme TLS00 & TLS70 input: olv* setrgbcolor

D65: Koordinatensysteme; 5stufige Farbreihen für 10 Bunttöne output: no change compared to input

Eingabe: Farbmétrisches Fernseh-Licht-System TLS00

für Buntton $h^* = lab^*h = 306/360 = 0.851$
 lab^*tch und lab^*nch

D65: Buntton V
LCH*Ma: 30 129 306
olv*Ma: 0.0 0.0 1.0

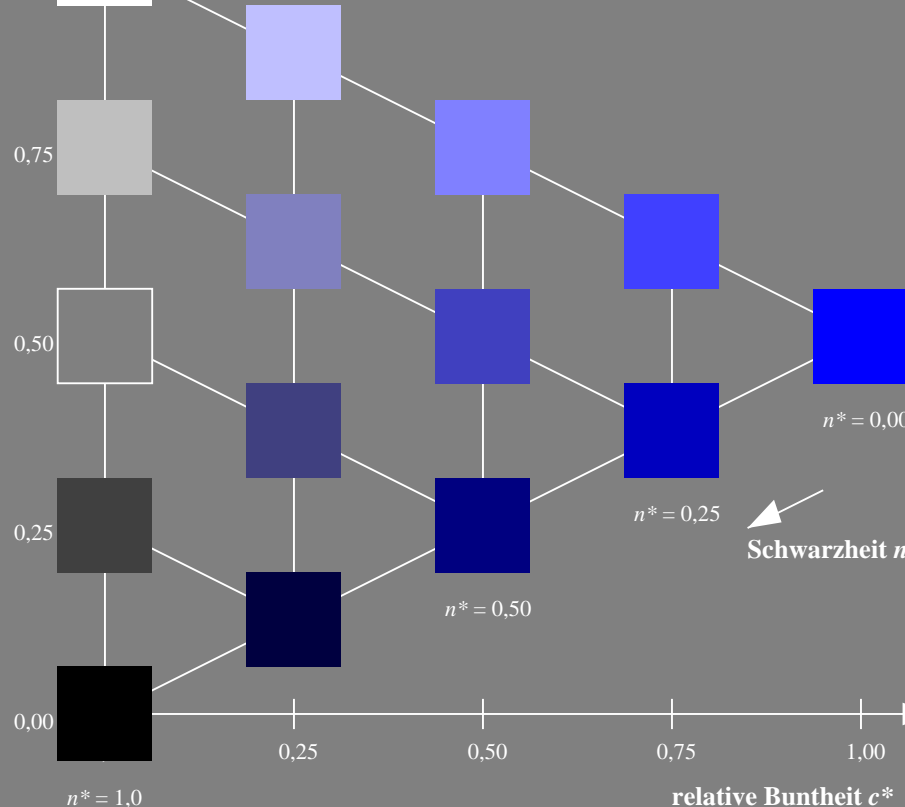


TLS00; adaptierte CIELAB-Daten

	$L^*=L^*_a$	a^*_a	b^*_a	$C^*_{ab,a}$	$h^*_{ab,a}$
O _m	50.5	76.92	64.55	100.42	40
Y _m	92.66	-20.69	90.75	93.08	103
L _m	83.63	-82.75	79.9	115.04	136
C _m	86.88	-46.16	-13.55	48.12	196
V _m	30.39	76.06	-103.59	128.52	306
M _m	57.3	94.35	-58.41	110.97	328
N _m	0.01	0.0	0.0	0.0	0
W _m	95.41	0.0	0.0	0.0	0
R _{CIE}	39.92	58.74	27.99	65.07	25
J _{CIE}	81.26	-2.88	71.56	71.62	92
G _{CIE}	52.23	-42.41	13.6	44.55	162
B _{CIE}	30.57	1.41	-46.46	46.49	272

Dreiecks-Helligkeit t^*

%Umfang
 $u^*_{rel} = 158$
%Regularität
 $g^*_{H,rel} = 20$
 $g^*_{C,rel} = 37$

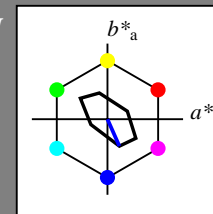


NG230-7, 5 stufige Reihen für konstanten CIELAB Buntton 306/360 = 0.851 (links)

Ausgabe: Farbmétrisches Fernseh-Licht-System TLS70

für Buntton $h^* = lab^*h = 294/360 = 0.816$
 LAB^*LCH , LAB^*NCH

D65: Buntton V
LCH*Ma: 72 39 294
olv*Ma: 0.0 0.0 1.0

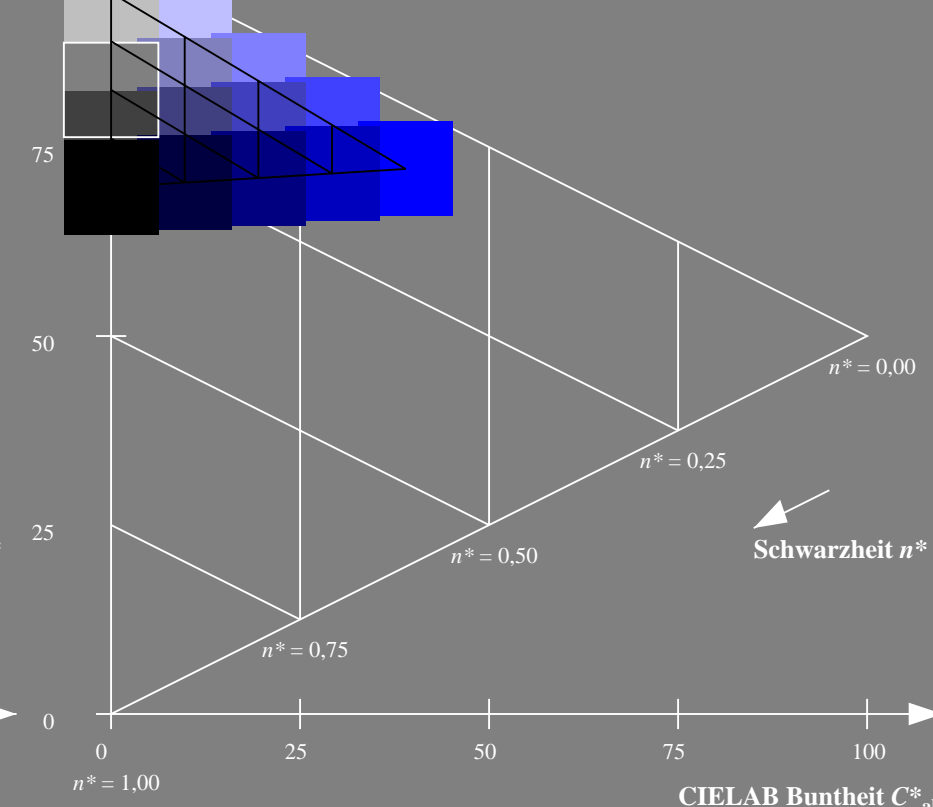


TLS70; adaptierte CIELAB-Daten

	$L^*=L^*_a$	a^*_a	b^*_a	$C^*_{ab,a}$	$h^*_{ab,a}$
O _m	76.43	26.27	10.57	28.32	22
Y _m	93.93	-10.76	34.63	36.27	107
L _m	89.32	-35.8	27.64	45.24	142
C _m	90.93	-21.95	-7.07	23.07	198
V _m	72.1	15.76	-35.63	38.97	294
M _m	78.5	37.52	-25.23	45.22	326
N _m	69.7	0.0	0.0	0.0	0
W _m	95.41	0.0	0.0	0.0	0
R _{CIE}	39.92	58.74	27.99	65.07	25
J _{CIE}	81.26	-2.88	71.56	71.62	92
G _{CIE}	52.23	-42.41	13.6	44.55	162
B _{CIE}	30.57	1.41	-46.46	46.49	272

CIELAB-Helligkeit L^*

%Umfang
 $u^*_{rel} = 16$
%Regularität
 $g^*_{H,rel} = 34$
 $g^*_{C,rel} = 51$



5 stufige Reihen für konstanten CIELAB Buntton 294/360 = 0.816 (rechts)

BAM-Prüfvorlage NG23; Farbmétrik-Systeme TLS00 & TLS70 input: olv* setrgbcolor

D65: Koordinatensysteme; 5stufige Farbreihen für 10 Bunttöne output: no change compared to input

Eingabe: Farbmétrisches Fernseh-Licht-System TLS00

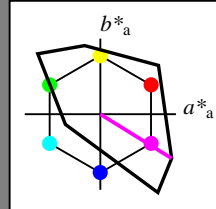
für Buntton $h^* = lab^*h = 328/360 = 0.912$

*lab*tch* und *lab*nch*

D65: Buntton M

LCH*Ma: 57 111 328

olv*Ma: 1.0 0.0 1.0

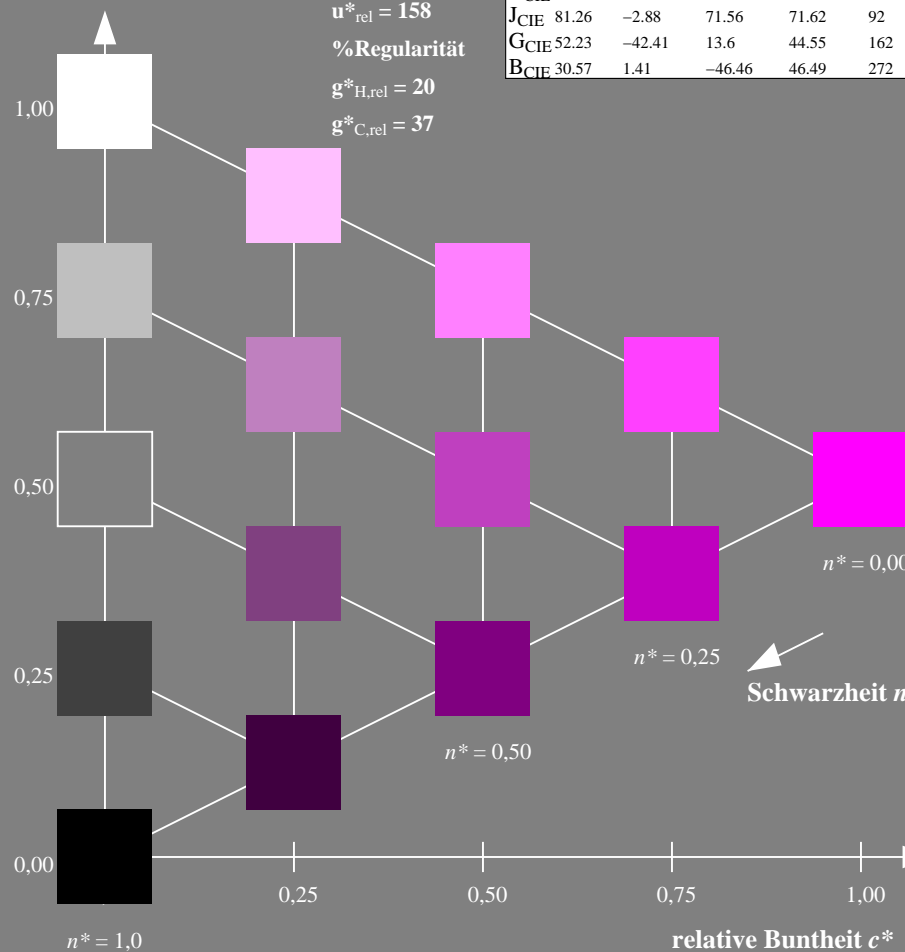


Dreiecks-Helligkeit t^*

%Umfang

$$\mathbf{u}_{\text{rel}}^* = 158$$

%Regularität

$$g^*_{H,rel} = 20$$
$$g^*_{C,rel} = 37$$


NG230-7, 5 stufige Reihen für konstanten CIELAB Buntton $328/360 = 0.912$ (links)

Ausgabe: Farbmétrisches Fernseh-Licht-System TLS70

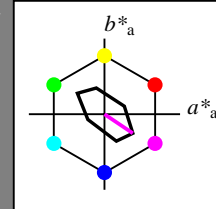
für Buntton $h^* = lab^*h = 326/360 = 0.906$

*LAB*LCH, LAB*NCH*

D65: Buntton M

LCH*Ma: 79 45 326

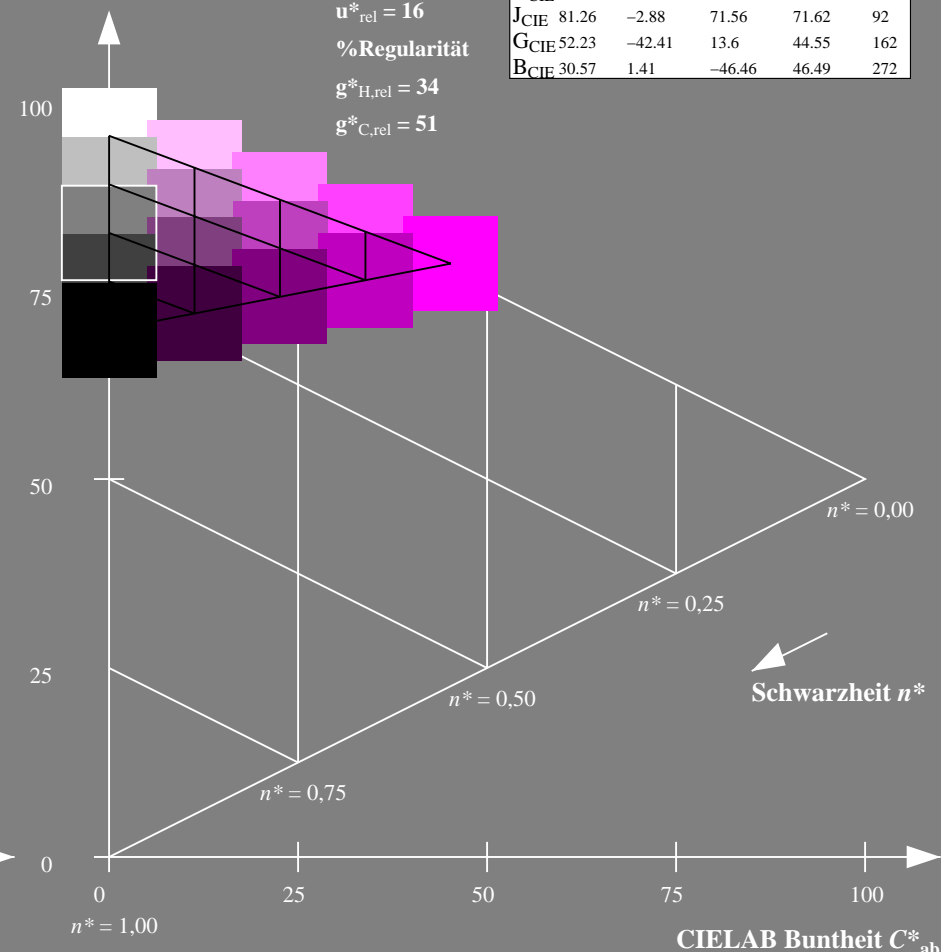
olv*Ma: 1.0 0.0 1.0

CIELAB-Helligkeit L^*

%Umfang

$$\mathbf{u}_{\text{rel}}^* = 16$$

%Regularität

$$g^*_{H,rel} = 34$$
$$g^*_{C,rel} = 51$$


5 stufige Reihen für konstanten CIELAB Buntton $326/360 = 0.906$ (rechts)

BAM-Prüfvorlage NG23; Farbmetrik-Systeme TLS00 & TLS70 input: *olv* setrgbcolor*

D65: Koordinatensysteme; 5stufige Farbreihen für 10 Bunttöne output: *no change compared to input*

Eingabe: Farbmétrisches Fernseh-Licht-System TLS00

für Buntton $h^* = lab \cdot h = 25/360 = 0.071$

$lab \cdot tch$ und $lab \cdot nch$

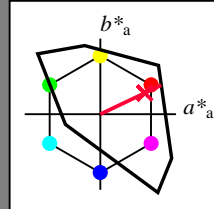
D65: Buntton R

LCH*Ma: 52 89 25

olv*Ma: 1.0 0.0 0.21

TLS00; adaptierte CIELAB-Daten

	$L^*=L^*_a$	a^*_a	b^*_a	$C^*_{ab,a}$	$h^*_{ab,a}$
O _m	50.5	76.92	64.55	100.42	40
Y _m	92.66	-20.69	90.75	93.08	103
L _m	83.63	-82.75	79.9	115.04	136
C _m	86.88	-46.16	-13.55	48.12	196
V _m	30.39	76.06	-103.59	128.52	306
M _m	57.3	94.35	-58.41	110.97	328
N _m	0.01	0.0	0.0	0.0	0
W _m	95.41	0.0	0.0	0.0	0
R _m	39.92	58.74	27.99	65.07	25
J _m	81.26	-2.88	71.56	71.62	92
G _m	52.23	-42.41	13.6	44.55	162
B _m	30.57	1.41	-46.46	46.49	272



Dreiecks-Helligkeit t^*

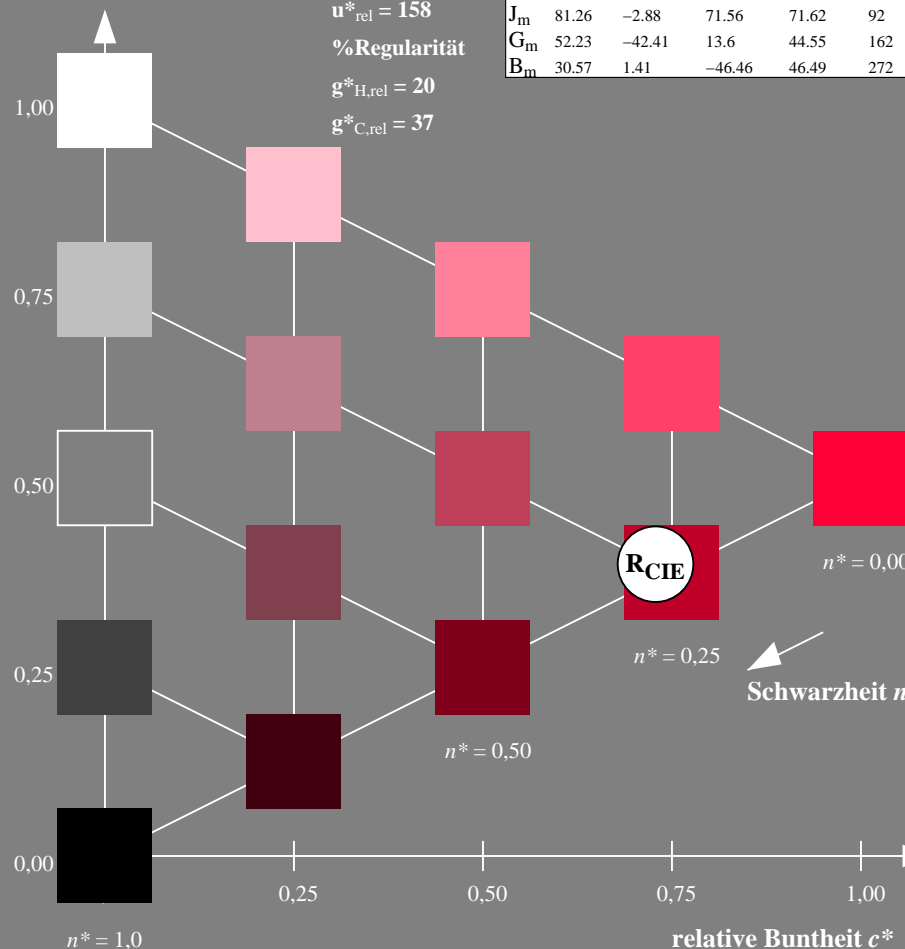
%Umfang

$u^*_{rel} = 158$

%Regularität

$g^*_{H,rel} = 20$

$g^*_{C,rel} = 37$



NG230-7, 5 stufige Reihen für konstanten CIELAB Buntton 25/360 = 0.071 (links)

Ausgabe: Farbmétrisches Fernseh-Licht-System TLS70

für Buntton $h^* = lab \cdot h = 25/360 = 0.071$

$LAB \cdot LCH$, $LAB \cdot NCH$

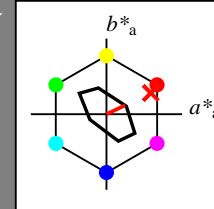
D65: Buntton R

LCH*Ma: 77 27 25

olv*Ma: 1.0 0.05 0.0

TLS70; adaptierte CIELAB-Daten

	$L^*=L^*_a$	a^*_a	b^*_a	$C^*_{ab,a}$	$h^*_{ab,a}$
O _m	76.43	26.27	10.57	28.32	22
Y _m	93.93	-10.76	34.63	36.27	107
L _m	89.32	-35.8	27.64	45.24	142
C _m	90.93	-21.95	-7.07	23.07	198
V _m	72.1	15.76	-35.63	38.97	294
M _m	78.5	37.52	-25.23	45.22	326
N _m	69.7	0.0	0.0	0.0	0
W _m	95.41	0.0	0.0	0.0	0
R _m	39.92	58.74	27.99	65.07	25
J _m	81.26	-2.88	71.56	71.62	92
G _m	52.23	-42.41	13.6	44.55	162
B _m	30.57	1.41	-46.46	46.49	272



CIELAB-Helligkeit L^*

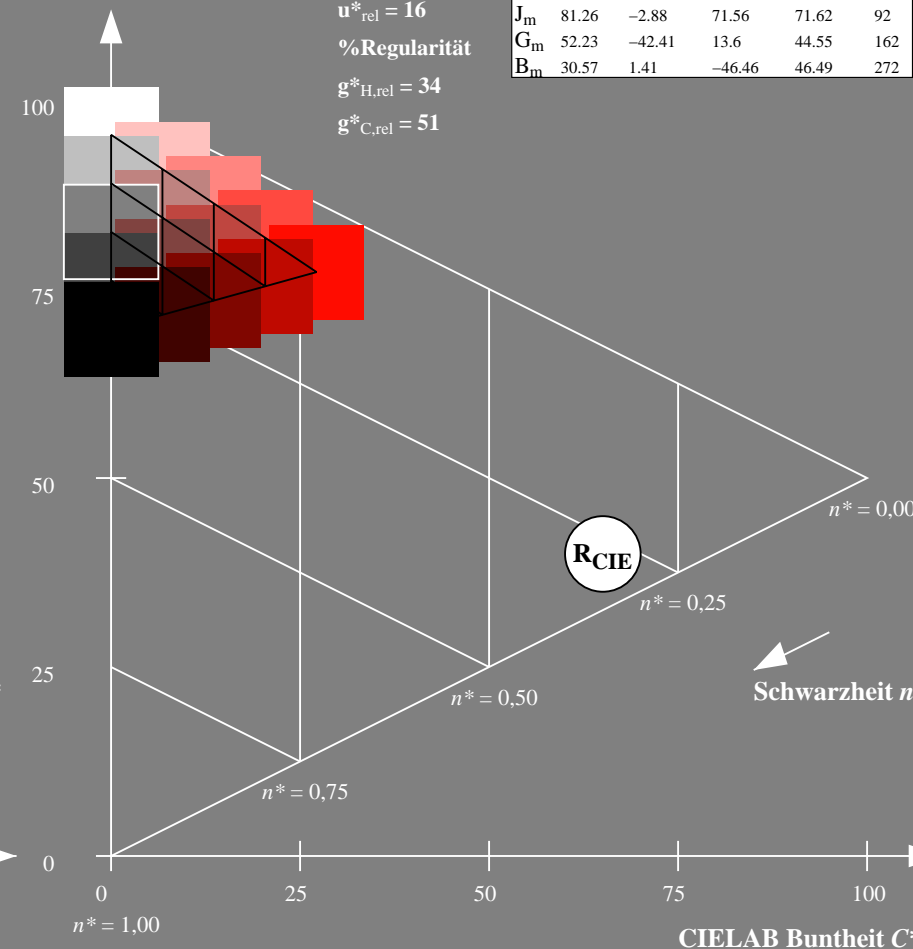
%Umfang

$u^*_{rel} = 16$

%Regularität

$g^*_{H,rel} = 34$

$g^*_{C,rel} = 51$



5 stufige Reihen für konstanten CIELAB Buntton 25/360 = 0.071 (rechts)

BAM-Prüfvorlage NG23; Farbmétrik-Systeme TLS00 & TLS70 input: olv* setrgbcolor

D65: Koordinatensysteme; 5stufige Farbreihen für 10 Bunttöne output: no change compared to input

Eingabe: Farbmimetrisches Fernseh-Licht-System TLS00

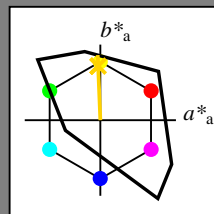
für Buntton $h^* = lab^*h = 92/360 = 0.256$

lab^*tch und lab^*nch

D65: Buntton J

LCH*Ma: 85 86 92

olv*Ma: 1.0 0.82 0.0



TLS00; adaptierte CIELAB-Daten

	$L^*=L^*_a$	a^*_a	b^*_a	$C^*_{ab,a}$	$h^*_{ab,a}$
O_m	50.5	76.92	64.55	100.42	40
Y_m	92.66	-20.69	90.75	93.08	103
L_m	83.63	-82.75	79.9	115.04	136
C_m	86.88	-46.16	-13.55	48.12	196
V_m	30.39	76.06	-103.59	128.52	306
M_m	57.3	94.35	-58.41	110.97	328
N_m	0.01	0.0	0.0	0.0	0
W_m	95.41	0.0	0.0	0.0	0
R_m	39.92	58.74	27.99	65.07	25
J_m	81.26	-2.88	71.56	71.62	92
G_m	52.23	-42.41	13.6	44.55	162
B_m	30.57	1.41	-46.46	46.49	272

Dreiecks-Helligkeit t^*

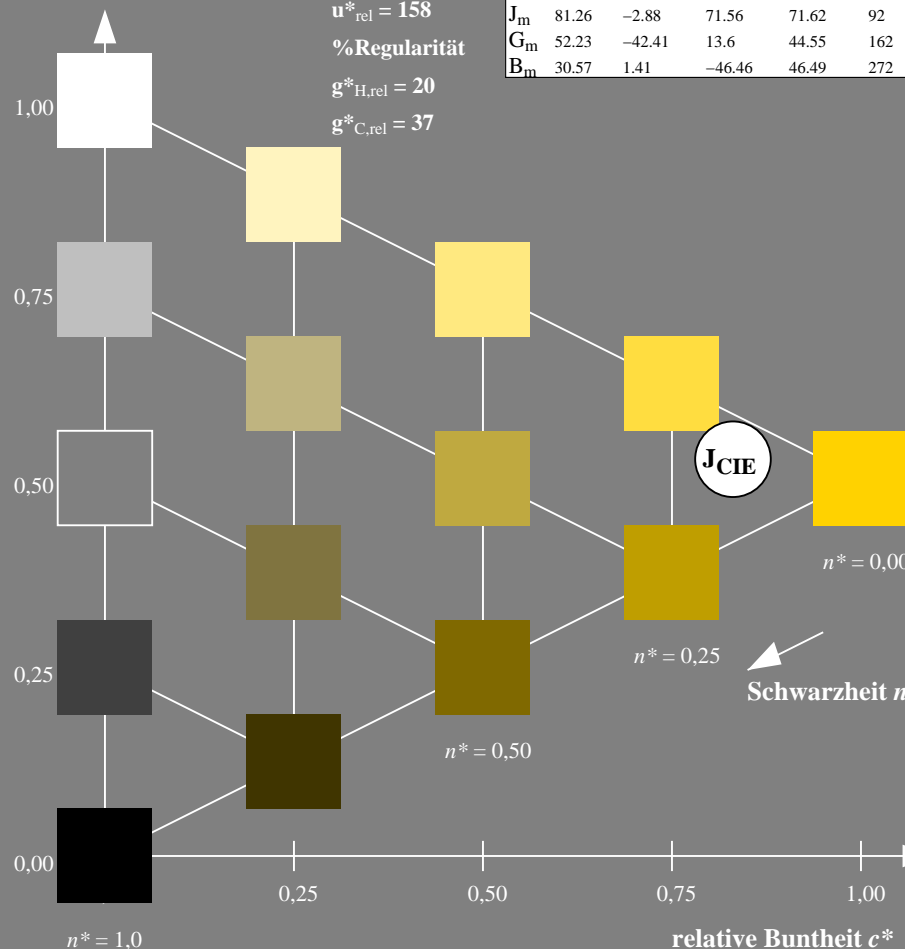
%Umfang

$u^*_{rel} = 158$

%Regularität

$g^*_{H,rel} = 20$

$g^*_{C,rel} = 37$



NG230-7, 5 stufige Reihen für konstanten CIELAB Buntton $92/360 = 0.256$ (links)

Ausgabe: Farbmimetrisches Fernseh-Licht-System TLS70

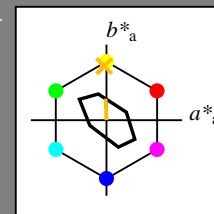
für Buntton $h^* = lab^*h = 92/360 = 0.256$

LAB^*LCH, LAB^*NCH

D65: Buntton J

LCH*Ma: 89 28 92

olv*Ma: 1.0 0.74 0.0



TLS70; adaptierte CIELAB-Daten

	$L^*=L^*_a$	a^*_a	b^*_a	$C^*_{ab,a}$	$h^*_{ab,a}$
O_m	76.43	26.27	10.57	28.32	22
Y_m	93.93	-10.76	34.63	36.27	107
L_m	89.32	-35.8	27.64	45.24	142
C_m	90.93	-21.95	-7.07	23.07	198
V_m	72.1	15.76	-35.63	38.97	294
M_m	78.5	37.52	-25.23	45.22	326
N_m	69.7	0.0	0.0	0.0	0
W_m	95.41	0.0	0.0	0.0	0
R_m	39.92	58.74	27.99	65.07	25
J_m	81.26	-2.88	71.56	71.62	92
G_m	52.23	-42.41	13.6	44.55	162
B_m	30.57	1.41	-46.46	46.49	272

CIELAB-Helligkeit L^*

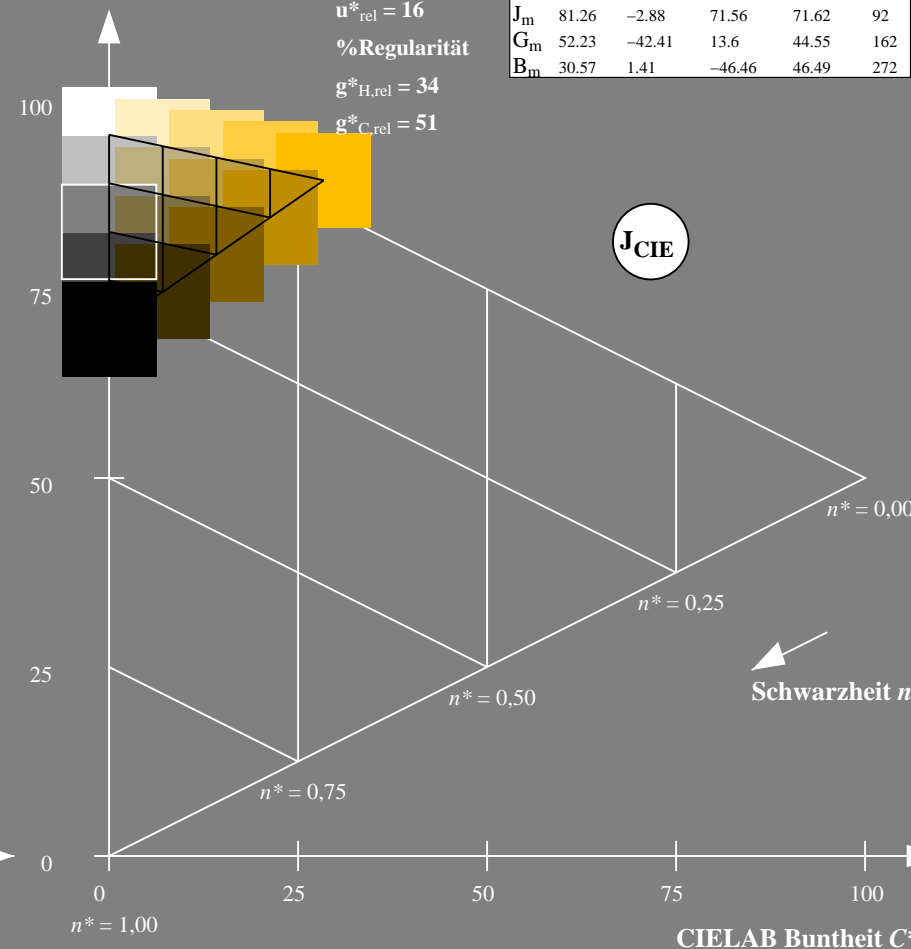
%Umfang

$u^*_{rel} = 16$

%Regularität

$g^*_{H,rel} = 34$

$g^*_{C,rel} = 51$



5 stufige Reihen für konstanten CIELAB Buntton $92/360 = 0.256$ (rechts)

BAM-Prüfvorlage NG23; Farbmimetrik-Systeme TLS00 & TLS70 input: olv* setrgbcolor

D65: Koordinatensysteme; 5stufige Farbreihen für 10 Bunttöne output: no change compared to input

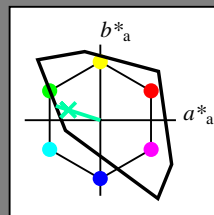
Eingabe: Farbmimetrisches Fernseh-Licht-System TLS00

für Buntton $h^* = lab^*h = 162/360 = 0.451$
 lab^*tch und lab^*nch

D65: Buntton G
LCH*Ma: 86 62 162
olv*Ma: 0.0 1.0 0.65

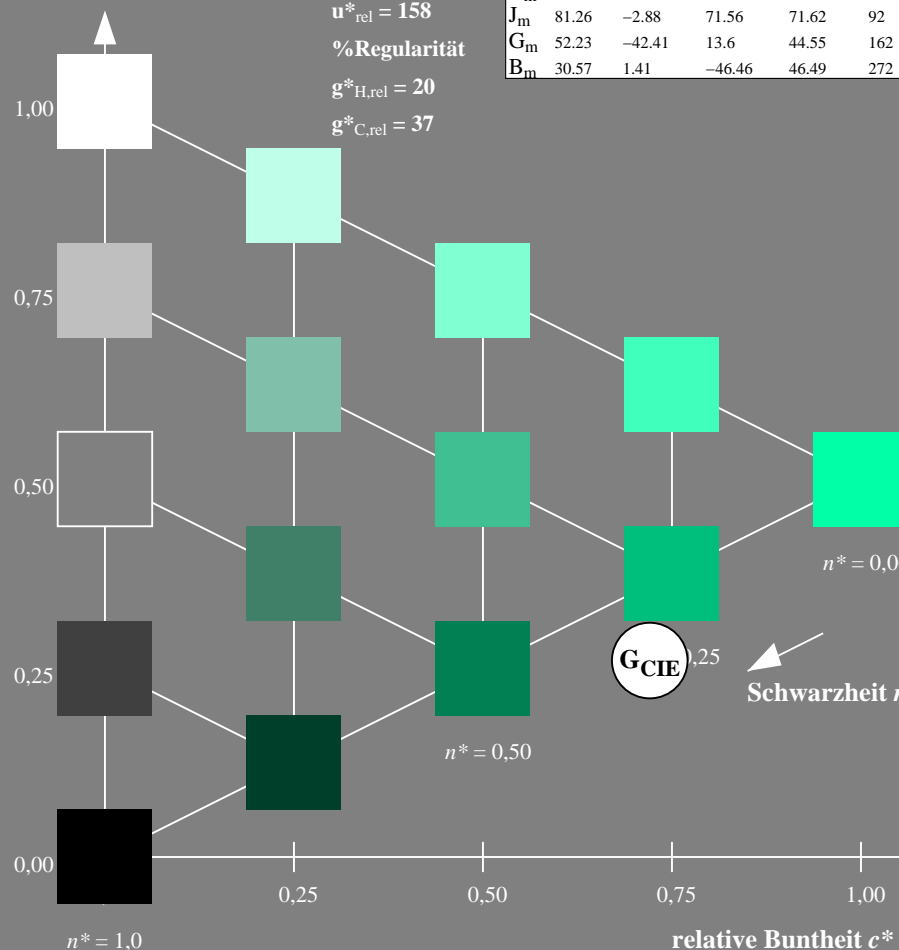
TLS00; adaptierte CIELAB-Daten

	$L^*=L^*_a$	a^*_a	b^*_a	$C^*_{ab,a}$	$h^*_{ab,a}$
O _m	50.5	76.92	64.55	100.42	40
Y _m	92.66	-20.69	90.75	93.08	103
L _m	83.63	-82.75	79.9	115.04	136
C _m	86.88	-46.16	-13.55	48.12	196
V _m	30.39	76.06	-103.59	128.52	306
M _m	57.3	94.35	-58.41	110.97	328
N _m	0.01	0.0	0.0	0.0	0
W _m	95.41	0.0	0.0	0.0	0
R _m	39.92	58.74	27.99	65.07	25
J _m	81.26	-2.88	71.56	71.62	92
G _m	52.23	-42.41	13.6	44.55	162
B _m	30.57	1.41	-46.46	46.49	272



Dreiecks-Helligkeit t^*

%Umfang
 $u^*_{rel} = 158$
%Regularität
 $g^*_{H,rel} = 20$
 $g^*_{C,rel} = 37$



NG230-7, 5 stufige Reihen für konstanten CIELAB Buntton 162/360 = 0.451 (links)

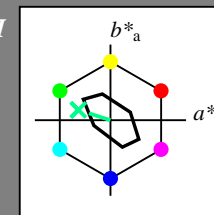
Ausgabe: Farbmimetrisches Fernseh-Licht-System TLS70

für Buntton $h^* = lab^*h = 162/360 = 0.451$
 LAB^*LCH , LAB^*NCH

D65: Buntton G
LCH*Ma: 90 30 162
olv*Ma: 0.0 1.0 0.53

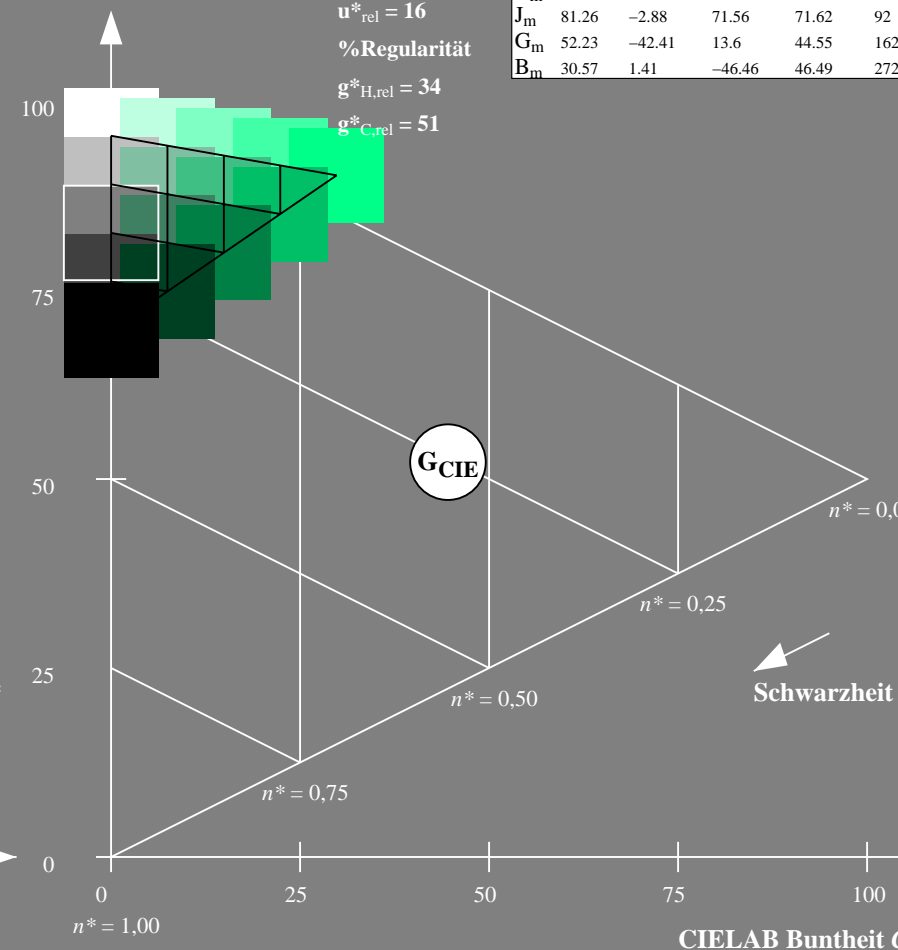
TLS70; adaptierte CIELAB-Daten

	$L^*=L^*_a$	a^*_a	b^*_a	$C^*_{ab,a}$	$h^*_{ab,a}$
O _m	76.43	26.27	10.57	28.32	22
Y _m	93.93	-10.76	34.63	36.27	107
L _m	89.32	-35.8	27.64	45.24	142
C _m	90.93	-21.95	-7.07	23.07	198
V _m	72.1	15.76	-35.63	38.97	294
M _m	78.5	37.52	-25.23	45.22	326
N _m	69.7	0.0	0.0	0.0	0
W _m	95.41	0.0	0.0	0.0	0
R _m	39.92	58.74	27.99	65.07	25
J _m	81.26	-2.88	71.56	71.62	92
G _m	52.23	-42.41	13.6	44.55	162
B _m	30.57	1.41	-46.46	46.49	272



CIELAB-Helligkeit L^*

%Umfang
 $u^*_{rel} = 16$
%Regularität
 $g^*_{H,rel} = 34$
 $g^*_{C,rel} = 51$



5 stufige Reihen für konstanten CIELAB Buntton 162/360 = 0.451 (rechts)

BAM-Prüfvorlage NG23; Farbmimetrik-Systeme TLS00 & TLS70 input: olv* setrgbcolor

D65: Koordinatensysteme; 5stufige Farbreihen für 10 Bunttöne output: no change compared to input

Eingabe: Farbmimetrisches Fernseh-Licht-System TLS00

für Buntton $h^* = lab \cdot h = 272/360 = 0.755$

$lab \cdot tch$ und $lab \cdot nch$

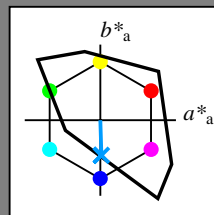
D65: Buntton B

LCH*Ma: 65 49 272

olv*Ma: 0.0 0.61 1.0

TLS00; adaptierte CIELAB-Daten

	$L^*=L^*_a$	a^*_a	b^*_a	$C^*_{ab,a}$	$h^*_{ab,a}$
O_m	50.5	76.92	64.55	100.42	40
Y_m	92.66	-20.69	90.75	93.08	103
L_m	83.63	-82.75	79.9	115.04	136
C_m	86.88	-46.16	-13.55	48.12	196
V_m	30.39	76.06	-103.59	128.52	306
M_m	57.3	94.35	-58.41	110.97	328
N_m	0.01	0.0	0.0	0.0	0
W_m	95.41	0.0	0.0	0.0	0
R_m	39.92	58.74	27.99	65.07	25
J_m	81.26	-2.88	71.56	71.62	92
G_m	52.23	-42.41	13.6	44.55	162
B_m	30.57	1.41	-46.46	46.49	272



Dreiecks-Helligkeit t^*

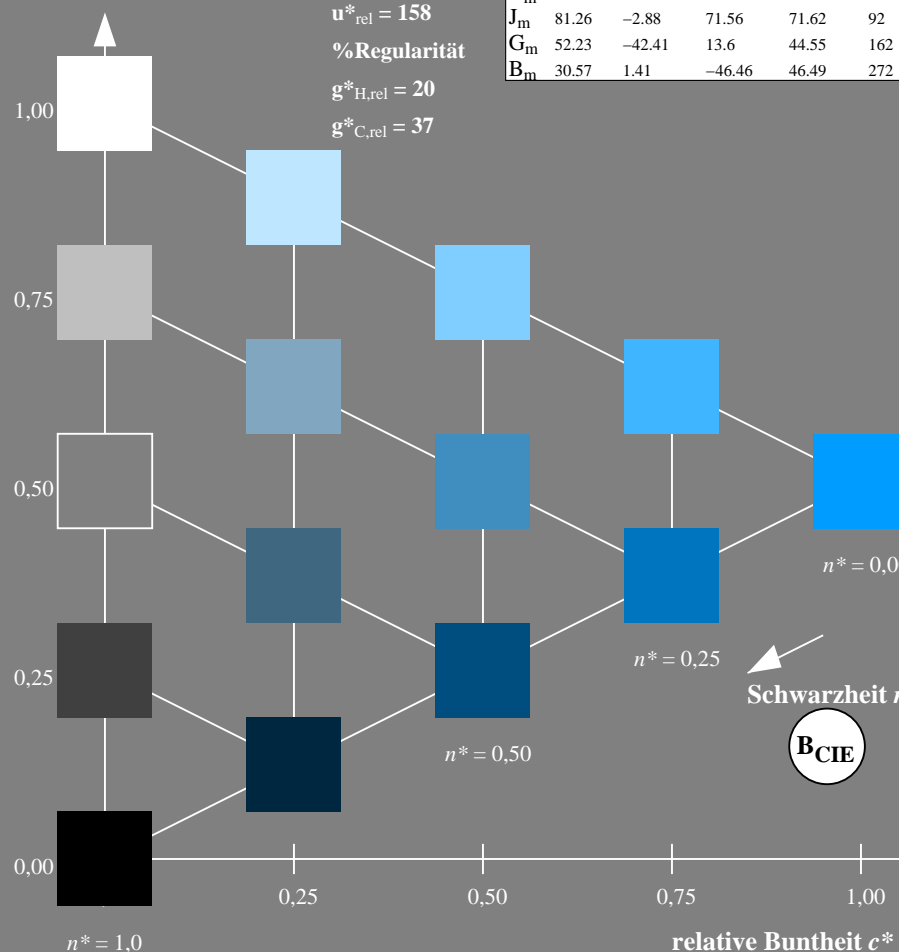
%Umfang

$u^*_{rel} = 158$

%Regularität

$g^*_{H,rel} = 20$

$g^*_{C,rel} = 37$



NG230-7, 5 stufige Reihen für konstanten CIELAB Buntton $272/360 = 0.755$ (links)

Ausgabe: Farbmimetrisches Fernseh-Licht-System TLS70

für Buntton $h^* = lab \cdot h = 272/360 = 0.755$

$LAB \cdot LCH$, $LAB \cdot NCH$

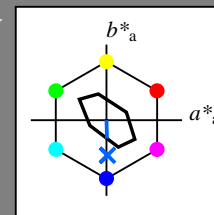
D65: Buntton B

LCH*Ma: 80 24 272

olv*Ma: 0.0 0.4 1.0

TLS70; adaptierte CIELAB-Daten

	$L^*=L^*_a$	a^*_a	b^*_a	$C^*_{ab,a}$	$h^*_{ab,a}$
O_m	76.43	26.27	10.57	28.32	22
Y_m	93.93	-10.76	34.63	36.27	107
L_m	89.32	-35.8	27.64	45.24	142
C_m	90.93	-21.95	-7.07	23.07	198
V_m	72.1	15.76	-35.63	38.97	294
M_m	78.5	37.52	-25.23	45.22	326
N_m	69.7	0.0	0.0	0.0	0
W_m	95.41	0.0	0.0	0.0	0
R_m	39.92	58.74	27.99	65.07	25
J_m	81.26	-2.88	71.56	71.62	92
G_m	52.23	-42.41	13.6	44.55	162
B_m	30.57	1.41	-46.46	46.49	272



CIELAB-Helligkeit L^*

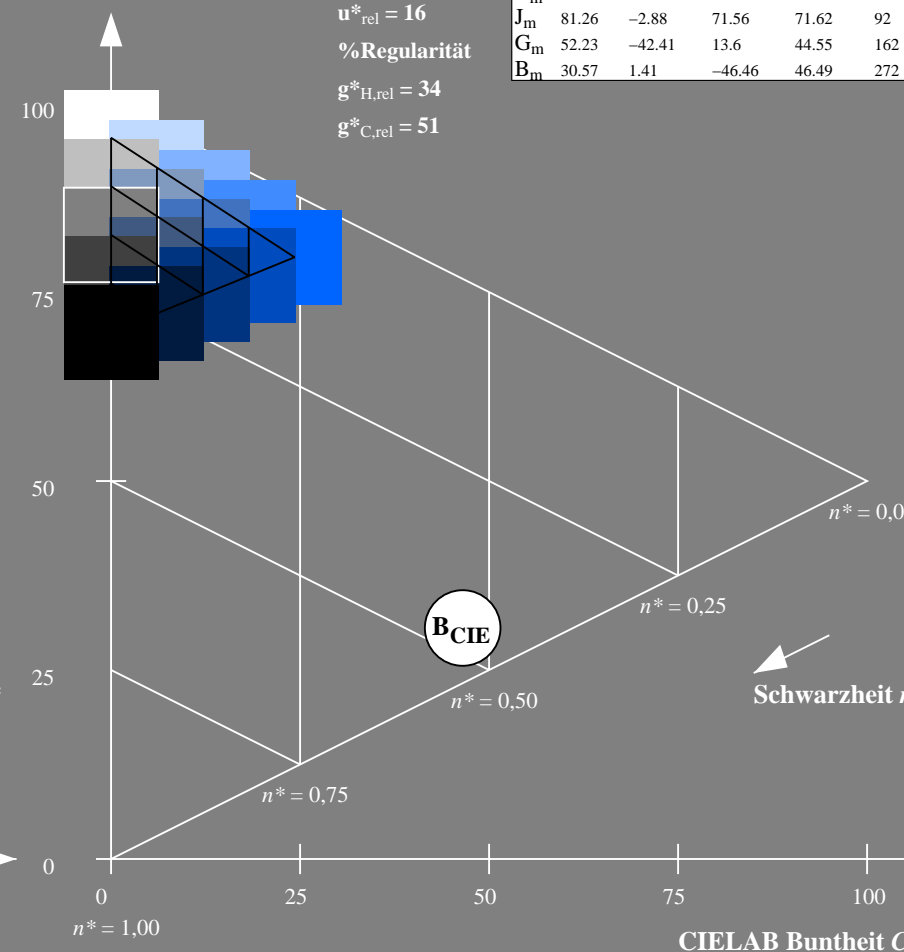
%Umfang

$u^*_{rel} = 16$

%Regularität

$g^*_{H,rel} = 34$

$g^*_{C,rel} = 51$



5 stufige Reihen für konstanten CIELAB Buntton $272/360 = 0.755$ (rechts)

BAM-Prüfvorlage NG23; Farbmimetrik-Systeme TLS00 & TLS70 input: olv* setrgbcolor

D65: Koordinatensysteme; 5stufige Farbreihen für 10 Bunttöne output: no change compared to input